



Creative Commons Attribution 4.0 International License (CC BY 4.0)

Geography and Environmental Hazards

Volume 11, Issue 2 - Number 42, Summer 2022

<https://geoeh.um.ac.ir>

<https://dx.doi.org/10.22067/geoeh.2022.72969.1119>

جغرافیا و مخاطرات محیطی، سال یازدهم، شماره چهل و دوم، تابستان ۱۴۰۱، صص ۶۱-۷۵

مقاله پژوهشی

ژئومورفولوژی سامانه‌های گسلی نهیندان و پیرامون در خاور ایران

مجید نعمتی^۱- دانشیار زلزله‌شناسی بخش زمین‌شناسی دانشکده علوم و مرکز پژوهشی زلزله دانشگاه شهید باهنر کرمان، ایران.
کامیلا یزدانفر- دکترای زمین‌ساخت، بخش زمین‌شناسی دانشگاه ارومیه، ارومیه، ایران.

تاریخ دریافت: ۱۴۰۰/۰۷/۱۶ تاریخ تصویب: ۱۴۰۰/۱۰/۱۹

چکیده

ژئومورفولوژی یکی از ابزارهای شناسایی گسل‌های فعال و مناطق فعال تکتونیکی است. به دلیل وجود دگرشکلی‌های ژئومورفولوژیکی مرتبط با تکتونیک، خاور ایران یکی از گستره‌های فعال تکتونیکی است. وجود گسل‌های راستالغز بلند و هم‌چنین زمین‌درز^۲ سیستان در این ناحیه از مهم‌ترین ویژگی‌های آن است. این گسل‌های راستالغز همگی راست‌گرد می‌باشند. سامانه گسلی نهیندان بلندترین سامانه گسلی خاور ایران است. این سامانه دارای دو گسل خاوری و باختり است که گسل خاوری بلندتر است. این گسل‌ها و گسل‌های پیرامون، زمین‌ریخت‌های گوناگونی را در گستره خاور ایران به وجود آورده‌اند. از این زمین‌ریخت‌های گوناگون می‌توان به جایه‌جایی آبراهه‌های جوان، چین‌ها، سازنده‌ها و ایجاد حوزه‌های کششی^۳ اشاره نمود. در این پژوهش علاوه بر نمایش زمین‌ریخت‌ها و جایه‌جایی‌های گسلی، فرآخاست^۴ زمین نیز در پی جنبش و جایه‌جایی تجمعی^۵ و درازمدت گسل‌ها بررسی شده است. در این بررسی، از تصاویر ماهواره‌ای^۶ MrSID^۷ و SRTM^۸ کمک گرفته شده است. با به‌کارگیری این تصاویر، بیشترین و

Email: nematimajid_1974@uk.ac.ir

۰۳۴۳۱۳۲۲۲۱۵: نویسنده مسئول:

2. Suture zone
3. Pull apart
4. Uplift
5. Cumulative
6. Multi-resolution Seamless Image Database
7. Shaded Relief Radar Topography Mission

نحوه ارجاع به این مقاله:

نعمتی، مجید؛ یزدانفر، کامیلا؛ ۱۴۰۱. ژئومورفولوژی سامانه‌های گسلی نهیندان و پیرامون در خاور ایران. جغرافیا و مخاطرات محیطی. ۱۱(۲). صص ۶۱-۷۵

<https://dx.doi.org/10.22067/geoeh.2022.72969.1119>

کمترین فراخاست اندازه‌گیری شده عمود بر راستای گسل‌ها، به ترتیب ۲۰۰ متر و ۱۳۰۰ متر اندازه‌گیری شده است. بیشترین جایه‌جایی افقی آبراهه و سازند اندازه‌گیری شده در راستای گسل‌ها، به ترتیب ۷۷۸۲ متر و ۱۳۷۴۰ متر برآورد شده است. گسل‌ها در برخی نقاط رخنمون دارند. در این مقاله تعدادی از این گسل‌ها که رخنمون آن‌ها قابل رویت است، مستند شده و بررسی شده‌اند.

کلیدواژه‌ها: خاور ایران، گسل نهیان، زمین‌لرزه، ژئومورفولوژی و زمین‌ساخت جنبا.

۱- مقدمه

ژئومورفولوژی در کشف گسل‌های پنهان به ما کمک کرده و یک گواهی برای اثبات جنبا بودن گسل‌ها به شمار می‌رود. در خاور ایران چند پیوست‌گاه مهم چندگانه‌ای از گسل‌های جنبا وجود دارد ([نعمتی و درخشانی^۱](#)). این گونه پیوست‌گاه‌های گسلی، از دیدگاه لرزه‌ای بسیار اهمیت دارند. پیوست‌گاه چندگانه گسل‌های کوهبنان، لکرکوه، گلباف و شهداد گسل گلباف در استان کرمان؛ گستره گسل‌های آبیز، دشت‌بیاض و گستره طبس از لرزه‌خیزترین نقاط خاور ایران هستند. ژئومورفولوژی و زمین‌ساخت جنبا^۲ با یکدیگر پیوند نزدیکی دارند، به گونه‌ای که این داشش به بررسی تعامل میان فرآیندهای زمین‌ساختی و سطحی که به شکل چشم‌انداز در مناطق دگرگشکلی جنبا و در مقیاس‌های زمانی از چند روز تا میلیون‌ها سال است، می‌پردازد؛ بنابراین، می‌توان با بررسی ژئومورفولوژی سطحی به شناخت زمین‌ساخت گستره کمک نمود ([رابطی و همکاران^۳](#), [۱۳۷۹](#)).

در خاور ایران زمین‌لرزه‌های بزرگ و ویرانگری روی داده است: زمین‌لرزه ۱۹۶۸ دشت‌بیاض (M_w 7.1) روی گسل دشت‌بیاض ([واکرو همکاران^۴](#), [۲۰۰۴](#)), زمین‌لرزه ۱۹۷۹ طبس گلشن (M_w 7.4) ([بربریان^۵](#), [۱۹۷۹](#)), زمین‌لرزه ۱۹۹۷ زیرکوه قائنات (M_w 7.1) روی گسل آبیز ([بربریان و همکاران^۶](#), [۱۹۹۹](#)), زمین‌لرزه ۱۹۸۱ سیچ (M_w 7.1) روی گسل گلباف ([بربریان و همکاران^۷](#), [۲۰۰۱](#)), زمین‌لرزه‌های ۱۹۹۴ سفیدآبه (M_w 5.0-5.9) روی پایانه گسل زاهدان ([بربریان و همکاران^۸](#), [۲۰۰۰](#)), زمین‌لرزه‌های ۲۰۱۷ هجدک کرمان (M_w ۶.۰-۶.۲) روی پایانه گسل لکرکوه ([سویچ و همکاران^۹](#), [۲۰۱۹](#)) (شکل [۱۱](#)). همگی این زمین‌لرزه‌ها اشکال مختلف ژئومورفولوژیکی بر روی زمین ایجاد نموده‌اند. لرزه‌خیزی در خاور ایران در پیرامون بلوک‌های بی‌لرزه روی گسل‌های راستالغز روی می‌دهد. در اینجا از تعدادی از این گسل‌ها نام برده شدند که سامانه گسلی نهیان یکی از مهم‌ترین این گسل‌ها می‌باشد ([نعمتی^{۱۰}](#), [۱۳۹۷](#)).

1. Nematic and Derakhshani
2. Tectonic Geomorphology
3. Walker et al.
4. Berberian et al.
5. Berberian et al.
6. Berberian et al.,
7. Berberian et al.,
8. Savidge et al.

این سامانه گسلی به عنوان بخشی از زمین درز سیستان که بلوک‌های لوت و جازموریان را به بلوک هلمند در افغانستان پیوند می‌دهد (نعمتی^۱، ۲۰۱۸)، به دو بخش خاوری و باختری تقسیم می‌شود (شکل ۱ ب).

خطیب و همکاران، (۱۳۸۷) روی زمین‌ریخت‌شناسی که روی سامانه گسلی نهیندان و تأثیر آن روی شهر نهیندان کار کرده‌اند. مرز کوه و دشت بودن گسل‌های این گستره و در کنترل داشتن توپوگرافی کنونی گستره از نتایج این کار می‌باشد. از دیگر کارهای زمین‌ریخت‌شناسی که روی سامانه گسلی نهیندان انجام شده است می‌توان به کار **واکر و همکاران^۲، (۲۰۱۲)** اشاره نمود. زمین‌لرزه‌های سال ۲۰۱۰-۲۰۱۱ ریگان ($Mw = ۶.۰-۶.۲$) روی پایانه جنوبی گسل نهیندان باختری، یعنی گسل کهورک، روی داده است. **شکل ۱ ب** نشان می‌دهد که شمال و جنوب این سامانه از دیدگاه لرزه‌ای جنباتر هستند (زمین‌لرزه‌های سال‌های ۲۰۱۰ و ۲۰۱۱) (شکل ۱). گسل نهیندان گسل جنبایی است که دست کم از دیدگاه ژئومورفولوژی از تکه‌های زیادی درست شده است. این گسل، هم خود مسبب زمین‌لرزه‌هایی با بزرگایی نزدیک به $۵/۰$ و بالاتر (زمین‌لرزه نخست ریگان در سال $2010/12/20 Mw = 6.2$) بوده و هم گسل مادر زمین‌لرزه‌ای بزرگ‌تر مانند زمین‌لرزه دوم ریگان در سال $2011/01/27 Mw = 6.0$ ، در جنوب گسل می‌باشد. در اینجا، منظور از گسل مادر، گسل مسبب نیست، بلکه گسلی است که جابه‌جایی آن باعث رخداد یک زمین‌لرزه روی یک گسل دیگر موجود در هم‌سایگی آن گسل شده یا یک گسل تازه در نزدیکی خود پدید آورده است. این زمین‌لرزه‌ها در پی جابه‌جایی راستبر گسل کهورک، در بخش خاوری در کوهستان، باعث تشکیل یک گسل چلپایی^۳، با جابه‌جایی چپ گرد بخش باختری شده است. این گسل‌ها در کار میدانی پژوهشگران نام برده پیمایش شده و روی نقشه آورده شده است (**واکر و همکاران^۴، (۲۰۱۳)؛ نعمتی^۵، (۲۰۱۵)**). جابه‌جایی‌های پیمایش شده در پایانه گسل نهیندان، در زمین‌لرزه ۲۰۱۱-۲۰۱۰، بیشتر هملرز بوده است. درباره پایانه جنوبی گسل می‌توان گفت، بر پایه بررسی‌های انجام گرفته **باقری و بیلویی (۱۳۷۴)** شواهدی همچون ساختار گل مانند^۶، دسته گسل‌هایی با لغزش‌های راستبر و چپبر و چین‌های برگشته در پایانه سامانه گسلی نهیندان (گسل کهورک) حکایت از عملکرد راستبر گسل کهورک دارد. در این پژوهش، کوشش بر این بوده که جابه‌جایی‌های میان لرزه‌ای روی این سامانه گسلی و گسل‌های پیامون در تصاویر هوایی شناسایی شده و بررسی کمی شوند. جابه‌جایی‌های لایه‌ها توسط گسل‌ها، جابه‌جایی‌های آبراهه‌ها توسط گسل‌ها و نمایش دگرگشکلی‌های جوان در این پژوهش بررسی خواهند شد.

-
1. Nemati
 2. Walker et al.
 3. Conjugate Fault
 4. Walker et al.
 5. Nemati
 6. Flower structure

۲- مواد و روش

۱-۱- موقعیت منطقه مورد مطالعه

سامانه‌های گسلی نهیندان در خاور ایران جای دارد. درازای این سامانه گسلی تقریباً ٦٠٠ کیلومتر است. این سامانه‌ها راستای شمالی - جنوبی داشته و سامانه نهیندان باختری در پایانه جنوبی خود به‌سوی باختر خمیدگی دارد. این بخش خمیده میزبان زمین‌لرزه‌های ۲۰۱۱- ۲۰۱۰ ریگان استان کرمان بوده است. این سامانه‌ها درواقع بخش مهمی از زمین‌درز سیستان به شمار می‌روند. جنبش بی‌لرزه و لرزه‌زای این سامانه‌ها که پیوند دهنده بلوک‌های بی‌لرزه لوت و جازموریان با بلوک بی‌لرزه هلمند در افغانستان هستند، در بررسی زمین‌ساخت گستره بسیار مهم است (شکل ۱).

برای بررسی دگریختی‌های سطحی روی سامانه گسلی نهیندان و پیرامون نزدیک به آن، تصاویر ماهواره‌ای SRTM^۱ و تصاویر میدانی به کار گرفته شده‌اند. تصاویر ماهواره‌ای MrSid^۲ برای جابه‌جایی افقی و تصاویر رقومی ارتفاعی SRTM^۳ برای اندازه‌گیری جابه‌جایی انباشتی قائم گسل‌ها به کاربرده شده است.

ژئومورفولوژی راه‌های زیادی را برای بررسی جبنا بودن یک گسل و نه الزاماً جنبش لرزه‌زای آن در یک گستره پیشنهاد می‌کند. از این راه‌ها می‌توان به بررسی جابه‌جایی آبراهه‌های دائمی و بهویژه فصلی در گستره‌های خشک (مانند خاور ایران)، جابه‌جایی سازندها، جابه‌جایی مسیر کاریز^۴‌ها و بادزن‌های آبرفتی اشاره نمود. به دلیل جبنا بودن این گستره از دیدگاه زمین‌ساختی، دگرشكلي‌های ژئومورفولوژی زیادی در سرتاسر این گسل به وجود آمده که در پی جابه‌جایی و جنبش (لرزه‌زا و بی‌لرزه) گسل‌ها در پیرامون بلوک‌های بی‌لرزه (لوت و جازموریان) ایجاد شده است (میلان و نعمتی، ۱۳۹۷). در این نوشتار، کوشش شده است تا بخشی از این دگرشكلي‌ها در تصاویر ماهواره‌ای و تصاویر میدانی نمایش داده شوند.

۳- بحث و نتایج

۱-۳- دگرشكلي‌های افقی

گسل‌ها و تکه‌های گسلی بررسی شده در این پژوهش، دو دسته‌اند: گسل‌های مرز میان کوه و دشت و گسل‌های درون‌کوهی^۵. در گستره بررسی شده، گسل‌های تشکیل دهنده مرز میان کوه و دشت (شکل ۲ آ، پ، ث و چ) به

1. Shuttle Radar Topography Mission, (www.jpl.nasa.gov/srtm/)

2. Multiresolution Seamless Image Database((www.usna.edu/Users/oceano/pguth/md_help/html/mr_solid.html)

۳. قنات

4. Intramountain

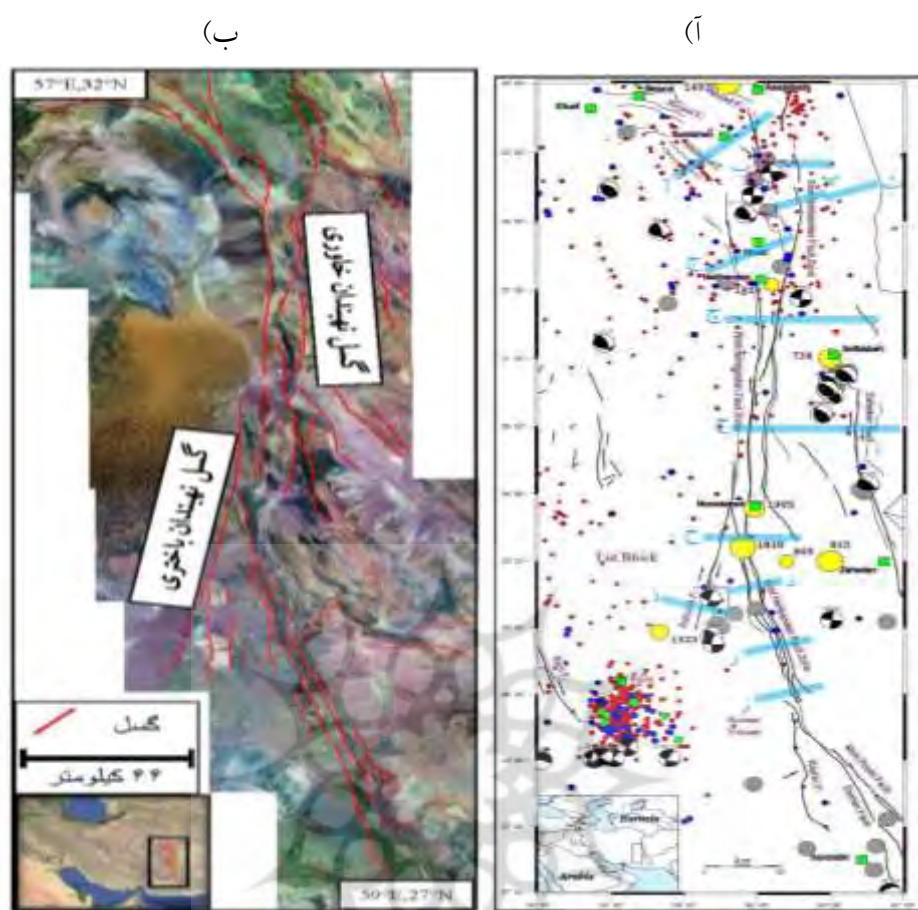
دلیل محل جاگیری و ماهیتشان، جوانتر از گسل‌های درون‌کوهی (**شکل ۲ ب، ت، ح، د و ذ**) هستند. این امر می‌تواند به دلیل سن بیشتر سنگ‌ها نسبت به آبرفت‌ها باشد. خاور ایران به دلیل شرایط آب‌وهوایی گرم و خشک و ویژه خود، محل آبراهه‌های فصلی بسیار زیادی می‌باشد. برخی از این آبراهه‌ها تشکیل بادزن‌های آبرفتی (مخروط‌افکنه) نیز داده‌اند (**شکل ۲ چ**). چین‌های تشکیل شده یا چین‌های رشد نموده همراه با جنبش گسل‌ها (Fault Bended Fold) نیز در گستره گسلی دیده شدند (**شکل ۲ پ**). حوزه‌های کششی نیز در گستره این گسل وجود دارند (**شکل ۲ ث، ج و چ**). این حوزه‌ها معمولاً در دو پایانه گسل‌های راستالغز به وجود می‌آیند. گسل خوردگی‌های راستالغز کوچکی نیز در درون کوه‌ها در همسایگی گسل نهیندان وجود دارند (**شکل ۲ ب**). این گسل‌ها که راستای آن با گسل اصلی نهیندان زاویه حاده می‌سازد، در پی جابه‌جایی بزرگ راستالغز روی این گسل پدید آمده و ممکن است گسل فرعی وابسته به گسل اصلی باشند. **شکل ۲ خ** نیز جابه‌جایی راستبر دو رودخانه را در راستا گسل نمایش می‌دهد. **اشکال آ، خ، د، ح و ج** جابه‌جایی آبراهه‌ها و اشکال ب، ت و ذ جابه‌جایی سازنده‌ها را توسط گسل‌ها نمایش می‌دهند. در **شکل‌های ۲ آ، ج، ح و د**، خمس آبراهه‌ها از جنبش گسل‌ها حکایت دارد. بیشترین جابه‌جایی افقی رودخانه‌ها در راستای گسل به اندازه ۳۹۱۰ متر می‌باشند. **شکل ۲ ذ** نیز که به پایانه شمالی گسل وابسته است، در یک فرآیند پیچیده که در شکل نمایش داده شده است، سازنده‌ها را جابه‌جا نموده است. در این شکل گسل میانه از گسل باختری جوانتر بوده و آن را جابه‌جا نموده است.

۲-۳- دگرشكلي‌های قائم

جابه‌جایی‌های انباشتی^۱، قائم در گستره‌های جنبا به دلیل جنبش بی‌لرزه گسل‌ها، جنبش بین‌لرزه‌ای آن‌ها و هم‌چنین رویداد زمین‌لرزه روی آن‌ها در دوره‌های پی‌درپی به وجود می‌آیند. این جابه‌جایی‌ها معمولاً در پی جنبش گسل‌های مرز میان کوه و دشت به وجود می‌آیند. **شکل ۳**، ده برش از نقاط مختلف در شمال و جنوب سامانه گسلی نهیندان و پیرامون را نمایش می‌دهد. درازای برش‌ها روی محور افقی بر حسب کیلومتر و بلندای آن نیز روی محور قائم بر حسب متر نمایش داده شده و مختصات UTM^۲ (سیستم مختصات استوانه‌ای) دوسر برش در بالای هر برش نوشته شده است. فراخاست انباشتی در هر برش در واقع اختلاف ارتفاع میان بلندترین و پست‌ترین بخش آن برش در نظر گرفته شده است که ممکن است حاصل جنبش یک یا چند گسل یا چند شاخه از یک گسل باشد. این برش‌ها از روی تصاویر ماهواره‌ای SRTM فراهم شده و دارای توپوگرافی و پلان مختصاتی است. برش‌های پ، ر، خ و د فقط بر روی گسل نهیندان زده شده؛ برش‌های ت و ب بر روی گسل‌های پیرامون و برش‌های ح، آ، ج و ث بر روی گسل نهیندان و گسل‌های پیرامون زده است.

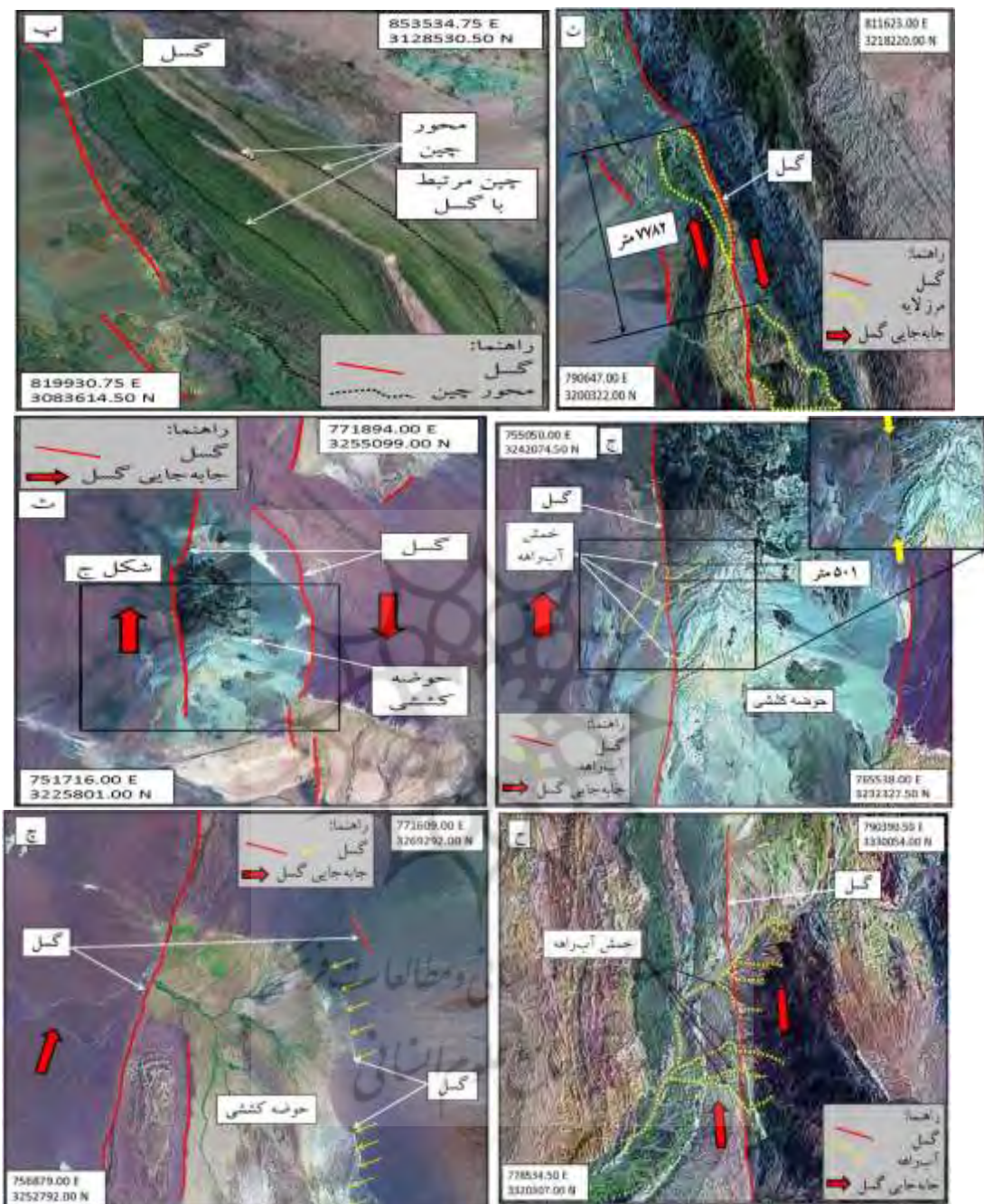
1. Cumulative displacement

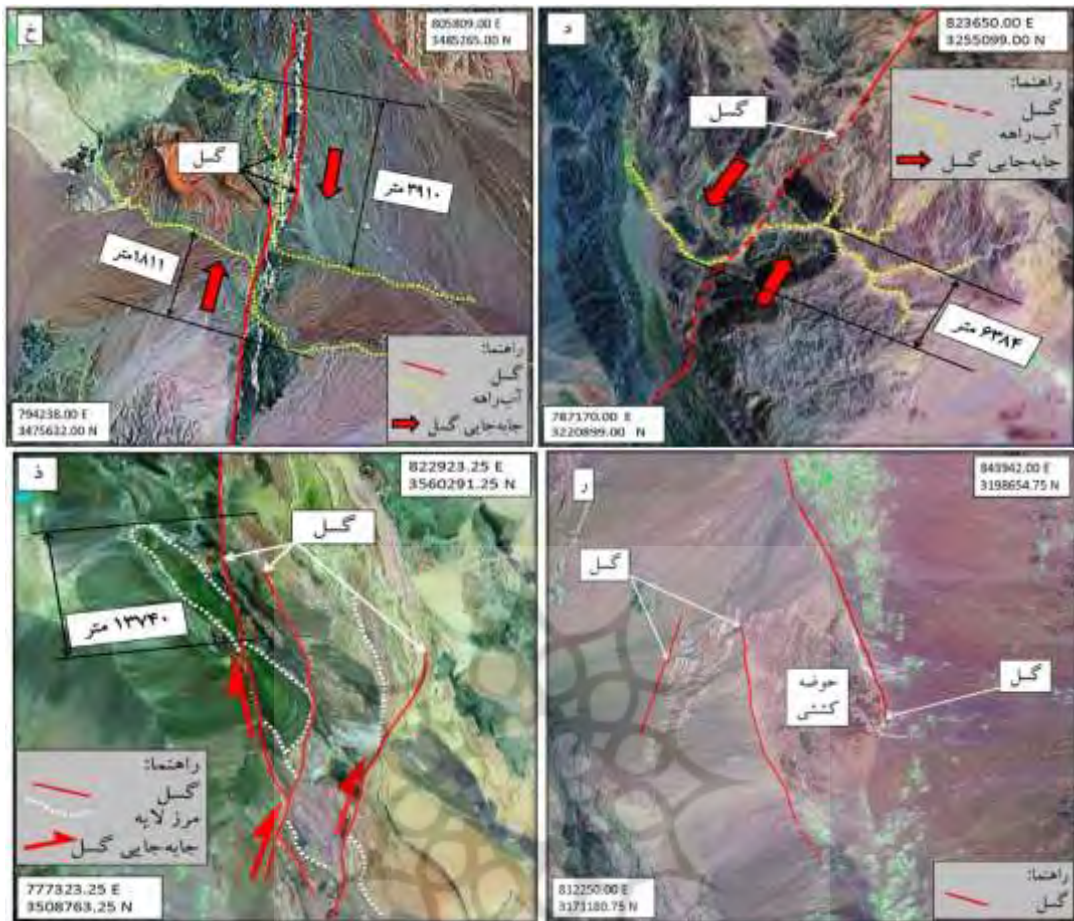
2. Universal Transvers Mercator



شکل ۱. آ) نقشه لرزه زمین ساختی گسل‌های نهندان و پیرامون و محل برش‌های ارتفاعی روی این شکل و
ب) محل این گسل‌ها روی تصاویر ماهواره‌ای.

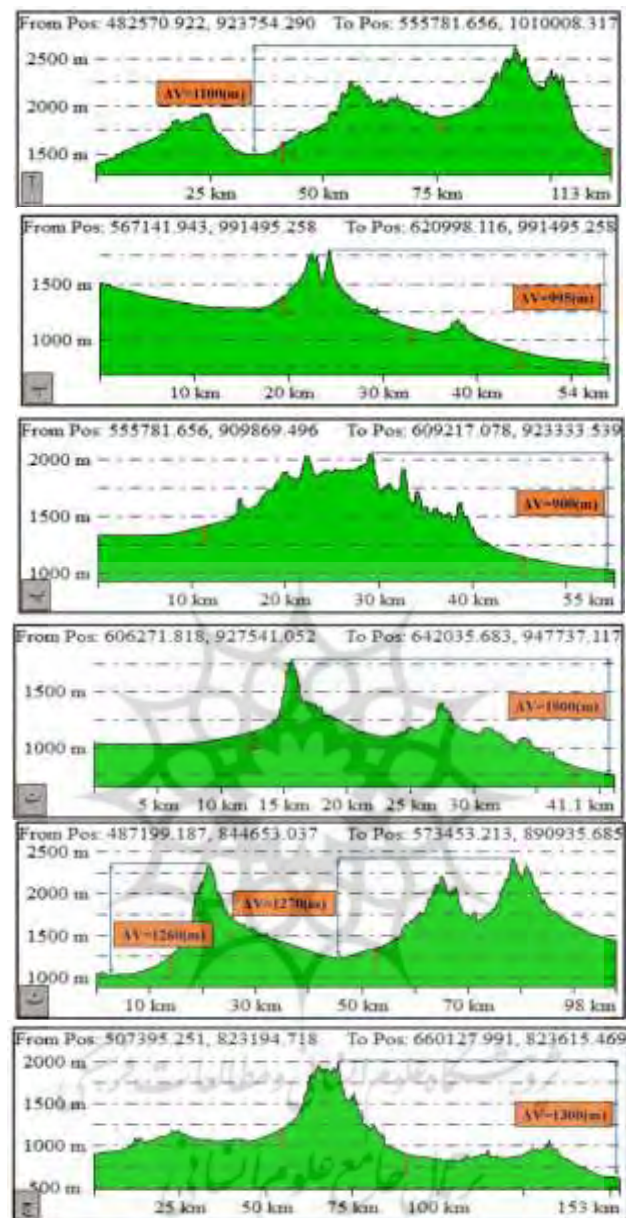


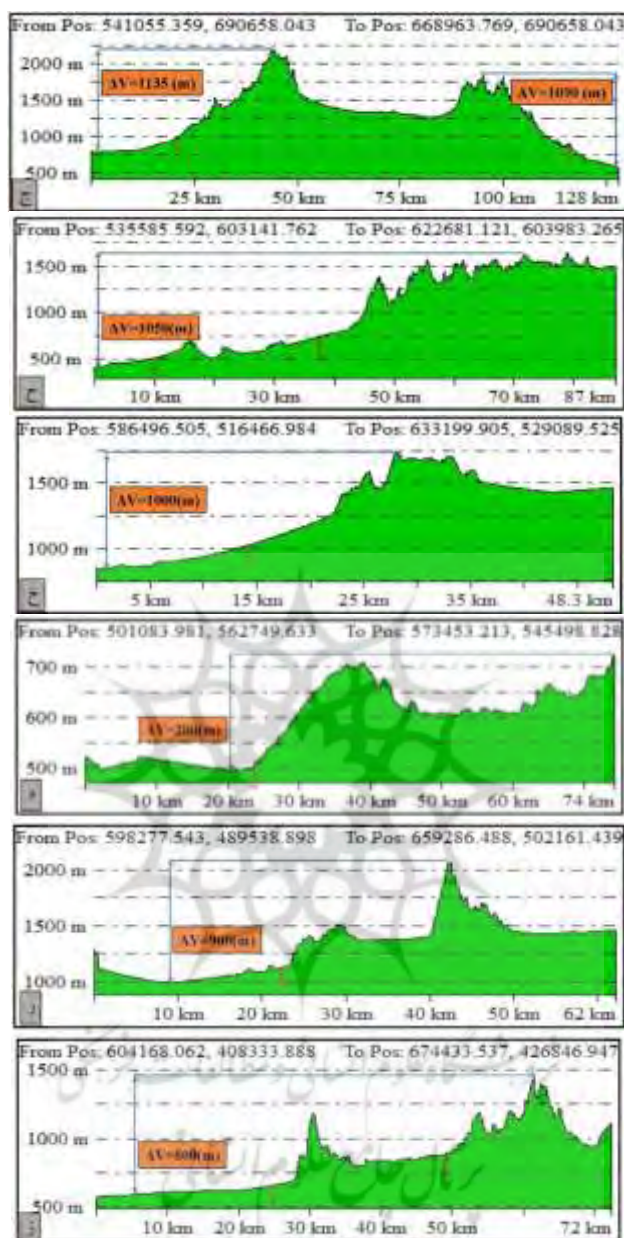




شکل ۲. آ) ۱/۷ کیلومتر جایه جایی یک آبراهه فصلی در پی حرکت راست بر گسل لکرکوه و ب) جایه جایی آبراهه های فصلی در پی حرکت راست بر گسل لکرکوه روی تصویر MrSid

برش چ نیز بر روی دو گسل مهم نهیندان و زاهدان زده شده است. برای مشخص شدن جایه جایی به گونه کامل، محل برش ها در هر گستره عمود بر راستای گسل ها در آن گستره طراحی شده است. در بلندترین نقطه، گستره گسلی بیش از ۲۶۰۰ متر از سطح دریا ارتفاع دارد. ارتفاع گستره بررسی شده در برخی نقاط به کمتر از ۵۰۰ متر نیز می رسد. بیشترین فراخاست انباشتی در این گستره به ۱۳۰۰ متر و کمترین آن ۲۰۰ متر می باشند. نشانگر های قائم قمز در سطح زمین در برش ها نشان دهنده رخنمون گسل های احتمالی هستند که به وجود آور نده این فراخاست ها هستند. میانگین فراخاست در گستره ۹۳۶ متر به دست آمده که اگر بخواهیم این عدد را به عنوان یک شاخص برای زمین ساخت جنبه در گستره در نظر بگیریم، عدد کوچکی نیست.





شکل ۳. جابه‌جایی انباشتی قائم روی نقاط مختلف گسل‌های نهیندان و پیرامون. محل برش‌ها در شکل ۱ آ نمایش داده شده است. جهت برش‌ها رو به شمال است.

شیب گسل‌های نهیندان با راستای شمالی-جنوبی که در بیشتر جاهای دارای مؤلفه اصلی راستالغز راستبر است، تند می‌باشد. راستا و رخنمون تقریباً راست گسل (مانند گسل نای‌بند) روی سطح زمین، این گفته را تأیید می‌نماید. ممکن است سازوکار پایانه این گسل، به دلیل خمش، دارای مؤلفه معکوس نیز باشد. شکل ۱ آ راستای بسیار صاف گسل نهیندان را دست‌کم در بخش‌های میانی (25° - 32° N) نشان می‌دهد.

۳-۳- گواهی‌های میدانی

بازدید میدانی در این پژوهش تنها از شمال سامانه گسلی صورت گرفته است. در این بازدید، تعداد ۵ تصویر میدانی از رخنمونهای گسلی شمال سامانه برداشته شده است. در [شکل‌های ۴](#) که این رخنمونها را به گونه آشکاری نمایش می‌دهد، راستای گسل با پیکان‌های آبی نشان داده شده است. دید تصویرها و همچنین مختصات محل برداشت تصویرها روی هر کدام از آن‌ها نمایش داده شده است. تنها در تصویر پ، رخنمون گسلی چندان واضح نبوده و از خمیدگی لایه نشان داده شده با نقطه‌چین سیاه می‌توان به وجود گسل در برش طبیعی آبراهه بی برد. به دلیل مشکلات زمانی، لجستیکی و مالی و بزرگ بودن و صعب‌العبور بودن گستره بررسی شده، امکان بازدید میدانی از کل گسل وجود ندارد. تصویر ج از پایانه گسل نهیندان باختری (گسل کهورک) پس از زمین‌لرزه ۲۰۱۰ ریگان از بخشی از رخنمون گسلش هم‌لرزه زمین‌لرزه برداشت شده است که نزدیک به ۲۵ سانتی‌متر جابه‌جایی محلی افقی و نزدیک به ۵۰ سانتی‌متر جابه‌جایی محلی قائم ایجاد نموده است.





شکل ۴. تصاویر میدانی از نقاط مختلف گسل‌های نهیندان و پیرامون. راستای گسل با پیکان‌های آبی نشان داده شده است.

۴- جمع‌بندی

خاور ایران به دلیل گرم و خشک بودن، در حفظ اشکال مختلف فرسایش در سطح زمین بی‌نظیر است. برای مثال با گذشت نزدیک به ۵۳ سال، هنوز نزدیک به یک متر از فراخاست گسلی زمین‌لرزه ۱۹۶۸ دشت‌بیاض، در برخی نقاط روی گسل دشت‌بیاض در شمال بی‌ریخت شده است. زمین‌ریخت‌های پیامد زمین‌ساخت جنبا و فرسایش، به ترتیب بیش‌تر در کتارهای و در میانه بلوک‌های بی‌لرزه مانند بلوک طبس و ایران مرکزی در خاور ایران و همچنین، استان کرمان (بلوک‌های لوت و جازموریان) روی می‌دهند. در درون بلوک‌های نام برده با اینکه لرزه‌خیزی دیده نمی‌شود، اشکال متنوع ژئومورفولوژیکی و فرسایشی در آن‌ها دیده می‌شود. زمین‌ساخت جنبا و فرسایش در این گستره، اشکال زمین‌ریختی گوناگونی را به وجود آورده است. بیش‌تر زمین‌ریخت‌های بررسی شده در این نوشتار توسط گسل‌های جنبا به وجود آمده‌اند؛ بنابراین، یکی از بهترین راه‌ها برای بررسی زمین‌ساخت جنبا در این گونه محیط‌ها، بررسی ژئومورفولوژی است. با توجه به نرخ بالای لرزه‌خیزی در خاور ایران، به‌جز گسل‌های نای‌بند و سروستان، جنبش بیش‌تر گسل‌ها در این گستره، لرزه‌زا نیز هست. در این پژوهش بررسی و نمایش زمین‌ریخت‌ها، به کمک جابه‌جایی آبراهه‌های فصلی، بادزن‌های آبرفتی و سازنده‌ها انجام شده است. می‌توان گفت که دگرشکلی‌های ژئومورفولوژیکی ایجادشده توسط گسل‌ها مانند موارد گفته شده می‌توانند در بررسی‌های زمین‌ساخت جنبا مدنظر قرار بگیرند.

Jabehjaii‌های ژئومورفولوژیکی سطحی را می‌توان به دو دسته افقی و قائم دسته‌بندی نمود. بیش‌تر جابه‌جایی‌های افقی را، در صورتی که به اندازه کافی بزرگ باشند، می‌توان روی تصاویر ماهواره‌ای با کیفیت بررسی نموده و نشان داد. اگرچه، درباره جابه‌جایی‌های قائم، کار کمی سخت‌تر خواهد بود. در این مورد، تصاویر با قدرت تفکیک بالاتری نیاز خواهد بود.

در سرتاسر گسل نهیندان تکه‌های گسلی وجود دارد که در آنها جابه‌جایی آبراهه‌ها و جابه‌جایی سازندها توسط گسل از جنبش آن تکه‌های گسلی حکایت دارد. بایستی میان خمث خود آبراهه یا مسیر آن که توسط آب باز شده و خمث یا جابه‌جایی آبراهه توسط گسل تفاوت قائل شد. معمولاً، خمث خود آبراهه به سختی و نرمی زمین و اندازه و جهت شبیه آن و عوامل دیگری به جز تکتونیک وابسته است. گسل نهیندان و گسل‌های پیرامون و فرعی آن که به ترتیب از سیستم برشی ساده و فشاری تبعیت می‌کنند، از ۵۰۱ متر جابه‌جایی راستالغز انشاشی در کنار یک حوزه کششی در میانه گسل تا بیش از ۱۲ کیلومتر جابه‌جایی را در جنوب گسل در کارنامه خود دارند. همچنین، جابه‌جایی انشاشی قائم گسل نیز در جای جای آن، از ۲۰۰ متر تا بیش از ۱۳۰۰ متر اندازه‌گیری شده است.

این گسل در بخش عمده‌ای از درازای خود، مرز بارزی میان کوه و دشت تشکیل داده است. این گسل در مرز میان کوه و دشت جابه‌جایی افقی زیادی ایجاد نکرده است. گسل‌های نهیندان در پایانه شمالی خود خمث داشته که به گمان با تغییر سازوکار نیز همراه است. زمین‌لرزه‌ای ۲۰۱۰ ریگان (M_w 6.2) درست بر روی پایانه جنوبی گسل نهیندان باختری روی داده است. در این بررسی، روند خاصی در جابه‌جایی‌های افقی گسلی از شمال به جنوب یا از جنوب به شمال روی سامانه گسلی دیده نشد. درباره جابه‌جایی‌های قائم می‌توان گفت به گمان، دو پایانه سامانه گسلی، از جابه‌جایی قائم کمتری در سنجش با میانه گسل برخوردار هستند. درباره لرزه‌خیزی در خاور ایران نیز وضعیت به همین‌گونه است. لرزه‌خیزی در خاور ایران، بیشتر روی پایانه‌های شمالی و جنوبی گسل‌های راستالغز روی می‌دهد. به عنوان مثال می‌توان به زمین‌لرزه ۱۹۷۸ طبس گلشن (M_w ۷/۴)، سری زمین‌لرزه‌های ۱۹۹۴ سفیدآبه (۶۰ M_w) (بربریان و همکاران، ۲۰۰۰) و زمین‌لرزه‌های ۲۰۱۱-۲۰۱۰ ریگان اشاره نمود. این زمین‌لرزه‌ها به ترتیب روی پایانه‌های شمالی و جنوبی گسل‌های ناییند، زاهدان و نهیندان روی داده‌اند. سازوکار این زمین‌لرزه‌ها به دلیل خمث گسل‌های آنها نسبت به راستای گسل‌های راستالغز، معکوس می‌باشد (نعمتی و درخشانی، ۲۰۲۱).

بازدید میدانی در این پژوهش تنها از شمال سامانه گسلی صورت گرفته است. رخنمونهای گسلی در برخی نقاط چندان واضح نیستند. در برخی نقاط نیز یک زون گسلی به جای صفحه گسلی ایجاد شده است. در این‌گونه موارد از شواهد جانبی مانند توپوگرافی و خمیدگی لایه می‌توان به وجود گسل در برش‌های طبیعی مانند آبراهه‌ها پی برد. روی پایانه گسل نهیندان باختری (گسل کهورک) که میزبان زمین‌لرزه ۲۰۱۰ ریگان می‌باشد، ۲۵ سانتی‌متر جابه‌جایی افقی و نزدیک به ۵۰ سانتی‌متر جابه‌جایی محلی قائم ایجاد شده است.

سپاس‌گزاری

از آقای دکتر احمد رشیدی از پژوهشگاه بین‌المللی زلزله شناسی و مهندسی زلزله برای کمک در این پژوهش سپاس‌گزاری می‌شود.

کتابنامه

باقری، ساسان؛ یبلویی، مهدی؛ ۱۳۸۷. گسل کهور و شواهد ساختاری حاشیه آن، منطقه چاه داشی - غرب نهبندان. دوازدهمین همایش انجمن زمین شناسی ایران، اهواز. شرکت ملی مناطق نفت خیز جنوب. خطیب، محمد Mehdi؛ سالاروند، اسماعیل؛ بومر، محمد؛ ۱۳۸۷. تأثیر حرکات سیستم گسلی نهبندان بر ژئومورفولوژی اطراف شهر نهبندان. جغرافیا و توسعه. دوره ۶. شماره ۱۲. صص ۵-۲۴.

https://gdij.usb.ac.ir/article_1240.html

رابطی، دنیا؛ دهبرگی، مریم؛ حکیمی، سعید؛ نوزعیم، رضا؛ ۱۳۹۷. بررسی زمین ساخت فعال با استفاده از شاخص‌های ژئومورفولوژی در حوضه سپیدرود. البرز غربی. پژوهش‌های ژئومورفولوژی کمی. دوره ۷. شماره ۲. پاییز ۱۳۹۷.

http://www.geomorphologyjournal.ir/article_81026.html

صفحه ۱۵۷-۱۶۰

میلان، فاطمه؛ نعمتی مجید؛ ۱۳۹۷. شاخص‌های ژئومورفولوژی، زمین ساخت جنبی و لرزه‌خیزی حوزه‌های لوت و جازموریان (استان کرمان). فصلنامه علمی- پژوهشی زمین‌شناسی محیط‌زیست. سال دوازدهم. شماره ۴۲. صص ۴۵-۳۳.

https://geojournal.islamshahr.iau.ir/article_545375.html

نعمتی، مجید؛ ۱۳۹۷. مبانی لرزه‌زمین ساخت با نگاهی ویژه به لرزه‌زمین ساخت ایران‌زمین. انتشارات دانشگاه شهید بهمن کرمان. صفحه ۳۰۰.

Berberian M, Jackson JA, Fielding E, Parsons BE, Priestly K, Qorashi M, Talebian M, Walker R, Wright, TJ Baker E., 2001. The 1998 March 14 Fandoqa earthquake (Mw6.6) in Kerman, southeast Iran: re-rupture of the 1981 Sirch earthquake fault, triggering of slip on adjacent thrusts, and the active tectonics of the Gowk fault zone. Geophysical Journal International 146 (2): 371–398. <https://onlinelibrary.wiley.com/doi/10.1046/j.1365-246x.2001.01459.x>

Berberian M, Jackson JA, Qorashi M, Khatib MM, Priestley K, Talebian M, Ghafuri-Ashtiani, M. 1999. The 1997 May 10 Zirkuh (Qa'enat) earthquake (M7.2): faulting along the Sistan suture zone of eastern Iran. Geophysical Journal International 136: 671–694. <https://doi.org/10.1046/j.1365-246x.1999.00762.x>

Berberian M, Jackson JA, Qorashi M, Talebian M, Khatib M, Priestley K., 2000. The 1994 Sefidabeh earthquakes in eastern Iran: blind thrusting and bedding-plane slip on a growing anticline, and active tectonics of the Sistan suture zone. Geophysical Journal International 142 (2): 283–299. <https://onlinelibrary.wiley.com/doi/10.1046/j.1365-246x.2000.00158.x>

Berberian M., 1979. Earthquake faulting and bedding thrust associated with the Tabas-e-Golshan (Iran) earthquake of September 16, 1978. Bull. Seismol. Soc. Am., 69 (6): 1861–1887. <https://doi.org/10.1785/BSSA0690061861>

Nemati M, Derakhshani R., 2021. Short-term seismicity patterns along the most active faults in Iran". Journal of Iberian Geology 47(3):441-459. <https://doi.org/10.1007/s41513-020-00133-0>

Nemati M., 2015. Aftershocks investigation of 2010 Dec. and 2011 Jan. Rigan earthquakes in the southern Kerman province, SE Iran. Journal of Tethys (Iran) 3(2): 96-113. <http://jithys.org>

Nemati M., 2018. Seismotectonic and seismicity of Makran, a bimodal subduction zone, SE Iran. Journal of Asian Earth Sciences 196: 139-161. <https://doi.org/10.1016/j.jseae.2018.08.009>

- Savidge E, Nissen E, Nemati M, Karasozen E, Hollingsworth J, Talebian M, Bergman E, Ghods A, Ghorashi M, Kosari E, Rashidi A, Rashidi A., 2019. The December 2017 Hojedk (Iran) earthquake triplet — sequential rupture of shallow reverse faults in a strike-slip restraining bend. *Geophysical Journal International* 217(2): 909-925. <https://doi.org/10.1007/s10950-020-09934-3>
- Walker R, Jackson J, Baker C., 2004. Active faulting and seismicity of the Dasht-e-Bayaz region, eastern Iran. *Geophysical Journal International* 157: 265–285. <https://academic.oup.com/gji/article/157/1/265/557991>
- Walker RT, Bergman EA, Elliott JR, Fielding EJ, Ghods AR, Ghorashi M, Jackson J, Nazari H, Nemati M, Oveisi B, Talebian M, Walters RJ., 2013, The 2010-2011 South Rigan (Baluchestan) earthquake sequence and its implications for distributed deformation and earthquake hazard in southeast Iran. *Geophysical Journal International*, 193, 349-374. <https://academic.oup.com/gji/article/193/1/349/739478>

